

A SEMI-CLASSICAL APPROACH
TO
THE BOSON-FERMION SYSTEM

高工研・阪大教養 吉川圭二

概略 Boson と Fermion と同時に含む非線型系を量子論で取り扱う場合、準古典近似の概念が明確でない。ここでは、Dashen-Hasslacher-Neveu による提案はされたいけれども完全に実行されなかった Full-Semi-Classical 近似のやり方をのべて、1~2 の例に適用することとを論ずる。尚、この仕事は、阪大教養部・佐藤雅昭君との共同の成果であり、くわしくは近々英文で出版される予定である。

§1 INTRODUCTION

素粒子論で、Fermion と Boson が強く結合した系と、非摂動的な解がなければならぬのが重要な問題である。Boson だけの系は Semi-classical な方法が確立した系であり、普通は、これを Fermion を量子効果として近似的に取り扱った系とする。これはおそろしく実情とあわないと考へらるるの

で、このような問題を考へることは正し。特に Fermion との結合をスピン 4, 7, 8 と満足な古典解が成り立つような例では、この方法が有効である。

実際には、 n 次元時空で

$$L = \bar{\psi} [i \Gamma^\mu(\varphi) \partial_\mu - V(\varphi)] \psi + L_B(\varphi) \quad (1.1)$$

を考へて、一般的な議論を行う。ここに φ は Boson 場、 L_B はその Lagrangean (一般に非線型)、 $\Gamma^\mu, V(\varphi)$ は同じ Fermion 場 ψ と結合している。

あとで具体的に応用する例は、Gross-Neveu model ⁽¹⁾

$$\begin{aligned} L_{GN} &= \bar{\psi} i \gamma \partial \psi + \frac{g^2}{2} (\bar{\psi} \psi)^2, \quad \bar{\psi} \psi \equiv \sum_{k=1}^N \bar{\psi}^{(k)} \psi^{(k)} \\ &= \bar{\psi} [i \gamma \partial - g \sigma] \psi - \frac{1}{2} \sigma^2 \end{aligned} \quad (1.2)$$

である。ここで σ は補助場である。Boson 場として (1.1) の φ に相当するを考へてよい。

§2. EFFECTIVE ACTION

この近似法の基本的な Idea は Dashen-Hasslacher-Neveu ⁽²⁾ の論文に述べられており、ここではこれを「Quantum Fluctuation」を取り扱うようにするのと同じである。

有限時間 T の Partition Function Z

$$Z = \int \exp \left[i \int_0^T dt \int d^n x \{ \bar{\psi} (i \Gamma^\mu \partial_\mu - V(\varphi)) \psi + L_B(\varphi) \} \right] d\psi d\bar{\psi} d\varphi$$

$$= \int \det | \Gamma^0 (i \Gamma^\mu \partial_\mu - V) | \exp i \int_0^T d^n x L_B(\varphi) d\varphi \quad (2.1)$$

とす。最初の項 \det は E の n 次元の Eigen value $E_{A,m}$ を求めるための式：

$$[i \Gamma^0 \partial_t - V(\varphi)] \xi_{A,m}(\vec{x}, t) = E_{A,m} \Gamma^0 \xi_{A,m}(\vec{x}, t) \quad (2.2)$$

但し

$$\begin{aligned} \varphi(\vec{x}, t) &= \varphi(\vec{x}, t+T) \\ \xi_{A,m}(\vec{x}, t) &= -\xi_{A,m}(\vec{x}, t+T) \end{aligned} \quad \left. \vphantom{\begin{aligned} \varphi(\vec{x}, t) &= \varphi(\vec{x}, t+T) \\ \xi_{A,m}(\vec{x}, t) &= -\xi_{A,m}(\vec{x}, t+T) \end{aligned}} \right\} (2.3)$$

なる Boundary Condition を置く。 (2.3) の周期性は今、我々が 周期解に興味をもつことからである。 ξ に関するマイナスの符号はこれが ψ 場の Fermion 性を保証するためである。(3)

このとき、(2.2) の $E_{A,m}$ は

$$[i \Gamma^0 \partial_t - V(\varphi)] \psi_A(\vec{x}, t) = 0 \quad (2.4)$$

$$\psi_A(\vec{x}, T) = e^{-i \int_0^T \mathcal{L}_A[\varphi]} \psi_A(\vec{x}, 0) \quad (2.5)$$

を満す ψ_A が求まるときには、

$$E_{A,n} = -\frac{1}{T} [(2n+1)\pi + \zeta_A[\varphi]] \quad (2.6)$$

$$\sum_{A,n} \psi_{A,n}(\vec{x}, t) = e^{-iE_{A,n}t} \psi_A(\vec{x}, 0) \quad (2.7)$$

で与えられる。これを規格化は

$$\int_0^T d^4x \sum_{A,n} \Gamma^0 \delta_{A',n'} = T \delta_{A,A'} \delta_{n,n'} \quad (2.8)$$

$$(\Gamma^0)^2 = 1$$

を仮定する。

(2.6) を (2.1) に代入し、適当な Normalization を行くと

$$Z \propto \sum_{\{m_A\}} \exp \left[i \left\{ \int_0^T L_\theta(\varphi) d^4x - \sum_A m_A |\zeta_A| - \sum_{A < 0} \zeta_A \right\} \right] \quad (2.9)$$

となる。但し $m_A = 0$ 或 1 がいずれも A -state にある Fermion 数。

$\sum_{\{m_A\}}$ はあらゆる可能な Fermion 分布にわたる和。

この分布 $\{m_A\}$ が与えられるときの Effective Action を

$$I_{\text{eff}} \{m_A\} = \int_0^T L_\theta(\varphi) d^4x - \sum_A m_A |\zeta_A(\varphi)| - \sum_{A < 0} \zeta_A(\varphi) \quad (2.10)$$

と定義する。

§.3 SEMICLASSICAL EXPANSION

我々の近似法は、

(a) Z の計算に (2.9) の各項別に Exponent, 即ち $I_{\text{eff}}(M_A)$ の stationary 近似を行う。(φ は独立変数として)

(b) I_{eff} の stationary 解 $E = \varphi_{cl}$ と呼ぶには、 I_{eff} は

$$\varphi = \varphi_{cl} + \eta \quad (3.1)$$

と置くときは、 η は 2 次項まで取り計算する。

このとき $E_{A,n}$ 即ち S_A の計算は (2.2) に従って、 $\varphi = \varphi_{cl}$ に η が干渉項が入ったとして、計算できる。すなわち

$$D(\varphi, \varphi) \equiv i\hbar^n \partial_r - V = D^{(0)}(\varphi_{cl}) + D^{(1)}(\varphi_{cl}, \eta) + D^{(2)}(\varphi_{cl}, \eta) + \dots$$

$$\Gamma^n(\varphi) = \Gamma^{(0)n} + \Gamma^{(1)n} + \Gamma^{(2)n} + \dots$$

$$E_{A,n} = E_{A,n}^{(0)} + E_{A,n}^{(1)} + E_{A,n}^{(2)} + \dots$$

$$\sum_{A,n}^{(0)} = \sum_{A,n}^{(0)} + \sum_{A,n}^{(1)} + \sum_{A,n}^{(2)} + \dots \quad (3.2)$$

と置く。順序よく各次で計算する。

0 次の結論はよく知られたように

$$D^{(0)} \sum_{A,n}^{(0)} = E_{A,n}^{(0)} \Gamma_0^{(0)} \sum_{A,n}^{(0)} \quad (3.3)$$

$$\sum_{A,n}^{(0)}(\vec{x}, T) = - \sum_{A,n}^{(0)}(\vec{x}, 0)$$

あるは

$$\Psi_A^{(0)}(\vec{x}, t) \equiv e^{iE_{A,m}^{(0)} t} \sum_{A,m}^{(0)} \Psi_{A,m}^{(0)}(\vec{x}, t) \quad (3.4)$$

正解は

$$\left. \begin{aligned} D^{(0)} \Psi_A^{(0)} &= 0 \\ \Psi_A^{(0)}(\vec{x}, T) &= e^{-iS_A^{(0)}} \Psi_A^{(0)}(\vec{x}, 0) \end{aligned} \right\} (3.5)$$

但し

$$\int \bar{\Psi}_A^{(0)}(x) \Gamma_0^{(0)} \Psi_{A'}^{(0)}(x) dx^{n-1} = \delta_{A,A'} \quad (3.6)$$

→ 1次近似からは

$$\Psi_A^{(1)} \equiv e^{iE_{A,m}^{(0)} t} \sum_{A,m}^{(1)} \quad (3.7)$$

と1次とき

$$E_{A,m}^{(1)} = -S_A^{(1)} = \int_0^T dt \int d^{n-1}x \bar{\Psi}_A^{(0)} D^{(1)}[\varphi] \Psi_A^{(0)} \quad (3.8)$$

$$\Psi_A^{(1)} = - \frac{1 - P_A}{D^{(0)}[\varphi_a]} D^{(1)} \Psi_A^{(0)} \quad (3.9)$$

ここで P_A は $\Psi_A^{(0)}$ に対する Projection Operator.

この結果から、 I_{eff} の stationary condition $\delta I_{\text{eff}} = 0$ が成り立つ。即ち $\delta\varphi = \zeta$ とすれば、(2.10), (3.8) から

$$-\partial_r \frac{\partial L_B}{\partial (\partial_r \varphi)} + \frac{\partial L_B}{\partial \varphi} + \sum_A n_A \bar{\psi}_A^{(0)} \frac{\partial D^{(1)}}{\partial \eta} \psi_A^{(0)} + \sum_{A \neq 0} \bar{\psi}_A^{(0)} \frac{\partial D^{(1)}}{\partial \eta} \psi_A^{(0)} = 0 \quad (3.10)$$

但し、この式の右側の $\psi_A^{(0)}$ は、(3.5) の $\psi_A^{(0)}$ である。

$$D^{(0)} \psi_A^{(0)} = 0 \quad (3.11)$$

この連立方程式の解は classical solution

$$(\varphi_{cl}, \psi_A^{(0)} \quad A=1, 2, \dots) \quad (3.12)$$

とす。

この結果は

$$-\zeta_A^{(2)} = - \int_0^T d^n x \bar{\psi}_A^{(0)} D^{(1)}(\eta) \frac{1-P_A}{D^{(0)}} D^{(1)}(\eta) \psi_A^{(0)} + \int_0^T d^n x \bar{\psi}_A^{(0)} D_A^{(2)}(\eta) \psi_A^{(0)} \quad (3.13)$$

より $z=0$ 近傍の内 z は

$$\begin{aligned} \text{Ieff} \{m_n\} &= S_{cl} \{m_n\} + \int L_B^{(0)}(\eta) d^n x \\ &- \sum_{A \in \{m_n\}} \left| \zeta_A^{(2)}[\varphi_{cl}, \eta] \right| - \sum_{A \neq 0} \zeta_A^{(2)}[\varphi_{cl}, \eta], \end{aligned} \quad (3.14)$$

$$\{m_n = 0, 1\}$$

但し、

$$S_{cl} \equiv \int_0^T d^4x L_B[\varphi_a] - \sum_{A \in \{m_A\}} |S_A^{(0)}[\varphi_a]| - \sum_{A < 0} S_A^{(0)}[\varphi_a] \quad (3.15)$$

$$L_B^{(0)} \equiv \left. \frac{\delta^2 L_B}{\delta \varphi^2} \right|_{\varphi = \varphi_{cl}} \quad (3.16)$$

§4. NEW-AUXILIARY FIELDS AND LOCAL EFFECTIVE ACTION

(3.14) は Non-Local である。補脚場 χ_A を用いて Local な Action を作ることにしよう。即ち

$$I_{eff}\{m_A\} = S_{cl} + I^Q \quad (4.1)$$

$$I^Q = \int d^4x \left[L_B^{(0)} + \sum_{\substack{A \in \{m_A\} \\ A < 0}} L_{A.F}^{(0)} \right] \quad (4.2)$$

$$L_{A.F}^{(0)} = \bar{\chi}_A D^{(0)} \chi_A + \bar{\Psi}_A^{(0)} D^{(1)}(\eta) \chi_A + \bar{\chi}_A D^{(1)}(\eta) \Psi_A^{(0)} + \bar{\Psi}_A^{(0)} D^{(2)}(\eta) \Psi_A^{(0)} \quad (4.3)$$

但し、Boundary conditionsは

$$\int_0^T d^4x \bar{\Psi}_A^{(0)} \Gamma_0^{(0)} \chi_A = 0 \quad (4.4)$$

$$\chi_A(\vec{x}, T) = e^{-i \sum_A^{(0)}} \chi_A(\vec{x}, 0) \quad (4.5)$$

$$\eta(\vec{x}, T) = \eta(\vec{x}, 0) \quad (4.6)$$

このとき $\{\chi_A\}$ は \vec{x} の Bose 場として量子化される。

(4.1) から (3.14) は Path Integral の公式を用いて簡単に証明出来る。尚、ある Factor の割算が必要であると注意しておく。

この Local な Action (4.2) は χ_A の成分は無限個あり得るけれども、それと取り扱う。一般論としては、このあと

(1) Renormalization

(2) Sum over all possible path

(3) Sum over all partitions $\{M_A\}$

を実行して、Energy spectrum E の求めると出来る。

§. 5. AN EXAMPLE - GROSS-NEVEU MODEL -

(1.2) の LGN を考える。このとき Effective Action は

$$I_{\text{eff}}\{M_A\} = \int_0^T d^2x \left[-\frac{\sigma^2}{2} \right] - \sum_A n_A S_A[\sigma] - \sum_{A \neq 0} \sum_A S_A[\sigma]$$

$$= \left[\int_0^T d^2x \left\{ -\frac{\sigma^2}{2} (\sigma^2 - \sigma_0^2) \right\} - \sum_A n_A S_A[\sigma] - \sum_{A \neq 0} (S_A[\sigma] - S_A[\sigma_0]) \right]$$

($\sigma_0 = \sigma$ の場合)

$$+ [LTZ (-\frac{1}{2}\sigma_0^2) - \sum_{A<0} Z_A C_{A0}] \quad (5.1)$$

但し (5.1) 右辺は Renormalized field σ のエネルギー (同じ記号エネルギー Z "因子"). Renormalization const. Z と Z と置いた。
 σ_0 は σ の Asymptotic 状態。

stationary condition は

$$-Z\sigma = \sum_A g m_A \bar{\psi}_A^{(0)} \psi_A^{(0)} - N \sum_{A<0} \psi_A^{(0)} \psi_A^{(0)} \quad (5.2)$$

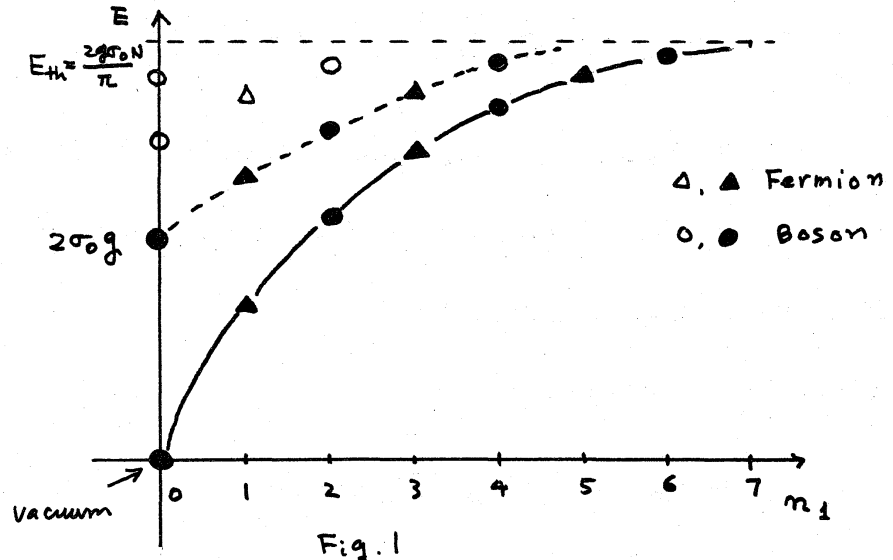
$$[i\gamma\partial - g\sigma(x)] \psi_A^{(0)} = 0 \quad (5.3)$$

$$\int \psi_A^{(0)\dagger} \psi_A^{(0)} dx = 1 \quad (5.4)$$

$m_A = 0$ sector のときは Z 因子は Z と Z と置いた。ZPS

$$\left. \begin{aligned} -Z\sigma_0 &= -\sum_{A<0} N \tilde{\psi}_A^{(0)} \tilde{\psi}_A^{(0)} \\ [i\gamma\partial - g\sigma_0] \tilde{\psi}_A^{(0)} &= 0 \end{aligned} \right\} \quad (5.5)$$

$m_A \neq 0$ のときは Inverse Scattering Method を使う。
 ($\sigma(x)$ が t -independent のとき)。 ψ_0, σ_{cl} はエネルギー
 因子は Z と置いた。 σ_{cl} は trapped した Energy level
 を示す因子は Z と置いた。 具体的には (ref. 2) を見よ。 二の
 結果



$$E_{m_1} = \frac{2}{\pi} g_0 N \sin\left(\frac{\pi}{2} \frac{m_1}{N}\right) \quad (5.6)$$

$N=2$. N は ψ の Isospin 成分数. m_1 は ψ_{cl} の中に trap された Fermion 数. これ以外の m_A は ψ_A の zero と取りなす。
 上図は $N=7$ の場合. ψ_A の classical solution がある Energy Levels は上図の実線上的のものだけである。

量子効果を求めるための Local Action は (4.2) に対応して

$$L_{cl} = -\frac{1}{2} \dot{\chi}^2 + \sum_{A \in \{m_A\}} \left\{ \bar{\chi}_A (i\gamma_0 \partial - g_0 \sigma_{cl}) \chi_A - g(\bar{\psi}^{(0)} \chi_A + \bar{\chi}_A \psi^{(0)}) \right\} \quad (5.7)$$

この場合, (5.7) を解くことができる。即ち χ_A, ψ の Euler Eq. は

$$\begin{aligned}
 (i\nabla\partial - g\sigma_{cl})\chi_A - g\zeta\psi_A^{(0)} &= 0 \\
 -\eta(x,t)\zeta + \sum' g(\bar{\psi}_A^{(0)}\chi_A + \bar{\alpha}_A\psi_A^{(0)}) &= 0
 \end{aligned}
 \tag{5.8}$$

またほ

$$\zeta(x,t) = \frac{1}{2\pi} \int_{-\infty}^{\infty} \zeta_\nu(x) e^{-i\nu t} d\nu$$

とすれば、(5.8)より

$$\zeta\zeta_\nu(x) = -Ng^2 \int dx' K_\nu(x,x') \zeta_\nu(x') \tag{5.9}$$

== <

$$\begin{aligned}
 K_\nu(x,x') &= \sum'_A \left[\bar{\psi}_A^{(0)}(x) G_{E+\nu}(x,x') (1-P_A) \gamma^0 \psi_A^{(0)}(x') \right. \\
 &\quad \left. + \bar{\psi}_A^{(0)}(x') G_{E-\nu}^T(x,x') (1-P_A) \gamma^0 \psi_A^{(0)}(x) \right]
 \end{aligned}
 \tag{5.10}$$

$$G_E(x,x') \sim \frac{-1}{i\nabla\partial - g\sigma_{cl}(x)}$$

あるいは、(5.9)は次の便利な(物理学に取っつき)形に書き直せる。 $S_F^E(x,x')$ はpotential $\sigma_{cl}(x)$ 上のFeynmanの ψ -field propagatorのEnergy E に関するFourier変換とある。このとき(5.9)は

$$\Xi \zeta_\nu(x) = -\frac{ig^2 N}{2\pi} \int_{C'} dE \int dx' \text{tr} [S_F^E(x, x') S_F^{E-\nu}(x', x)] \zeta_\nu(x') \quad (5.11)$$

と書ける。但し、E積分路は integrand の 解析面上で、次の図に指定したものを C' と取る。これは Feynman の取り方と少し異なる。

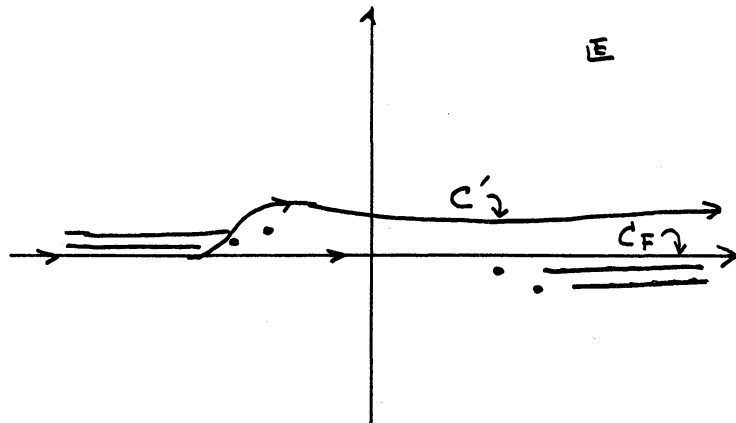


Fig. 2

Feynman Rule に 于て 積分路は 実軸に 沿って 行く C_F であるが、我々の場合は左半面にあり Bound state の pole をまわって右路 C' である。この物理的意味は明白で、次のように説明できる。(5.11) は Feynman のように書くと

$$\Xi \cdot \text{---} \zeta = \text{---} \text{---} \text{---} \zeta$$

と書けるが、1本の内線 $\text{---} \text{---} \text{---}$ は、Bound state の level である Fermion であり、n 個 capture されていくのである。これは virtual なる Fermion は入りこめないのである。

この結果は (5.11) のように積分路の変更を取り入れここと
できる。

次に注意すべきことは、積分核 (5.11) は実際には発散を含ん
でいる。しかしこの発散は、くりこみ定数 Z に含まれる発散
と打ち消し合つて、(5.11) は Well defined な積分方程式とな
る。

実際、 $m_1 = 0$ の場合は (5.11) は Fourier 成分を diagona-
lize できる。

$$\frac{\sqrt{4m^2 - v^2}}{2\sqrt{-v^2}} \ln \left[\frac{\sqrt{4m^2 - v^2} + \sqrt{-v^2}}{\sqrt{4m^2 - v^2} - \sqrt{-v^2}} \right] = 0 \quad (5.12)$$

となる。これは $v = \pm 2m \equiv \pm 2g\sigma_0$ に zero がある。

即ち、 $\sigma = \sigma_0$ のときの量子効果による Excitation は質量
 $2g\sigma_0$ である。Scalar 場であることからもわかる。これは
Fig. 1 の --- 線上の、一番下の黒丸を意味している。 $m_1 = 0$
の場合の積分方程式 (5.11) はおもしろい。まず解は 2
つあり、予想は Fig. 1 の ----- 線上の 2 つの
は全部出ると思われる。夏その他のものは、Time-dependent
な解として、DHN⁽²⁾ が求めたものを書きこんでいる。

おそらく、Time-dependent な解を求めたり、我々の
方法に従って、time-independent な解 σ_{cl} を求め、量子
補正を求めると、Systematic⁽²⁾ がある点で技術的にやさしい。

また、Gross-Neveu Model への $1/N$ 展開は、Time-dependent
 近似が成り立つ 2 粒子の 2 。この $1/N$ の Quantum Correction を
 我々の方法で求めるのは可能であり、かつ面白い問題である。

この方法は、String Model や Bag Model に応用できるの
 は最適な方法であることと見込まれ、この論文を 12、この論文を 12
 3。

(Jan. 23, 1979)

References

- (1) D. J. Gross and A. Neveu, Phys. Rev. D10, 3235 (1974).
- (2) R. F. Dashen, B. Hasslacher and A. Neveu, Phys. Rev. D12
 2443 (1975).
- (3) Y. Ohnuki, KEK Lecture note (1978).